

Stratigrafija • Stratigraphy • Nòðàðèäðàôèÿ

Pleistocene nuogulø sandaros ir formavimosi ypatybës ðiaurës Lietuvoje

Valentinas Baltrùnas,
Bronislavas Karmaza,
Danguolë Karmazienë

Baltrùnas V., Karmaza B., Karmazienë D. Structure and formation peculiarities of Pleistocene deposits in Northern Lithuania. *Geologija*. Vilnius. 2005. No. 52. P. 22–33. ISSN 1392-110X.

A new geological material on the structure of the Pleistocene strata deposits and formation peculiarities of subglacial tills in Northern Lithuania is presented. Pleistocene strata deposits in the study site are subdivided into three complexes. The Middle Pleistocene subglacial complex is stratified mainly in the depressions of sub-Quaternary surface. It is formed by a glacier which moved from the north-west and accumulated non-uniformly hashed alien and local (Upper Devonian) clastic material. Of intermorainic deposits, of great interest are basin sediments whose OSL age is 86–81 thousand years. They are overlain by a glacial complex of the Baltic stage of the Nemunas (Weichselian) Glaciation. It is formed by a glacier that advanced from the north and accumulated tills of two phases.

Key words: Pleistocene deposits, till, formation, stratigraphy, Baltija stage, North Lithuania

Received 02 June 2005, accepted 25 August 2005

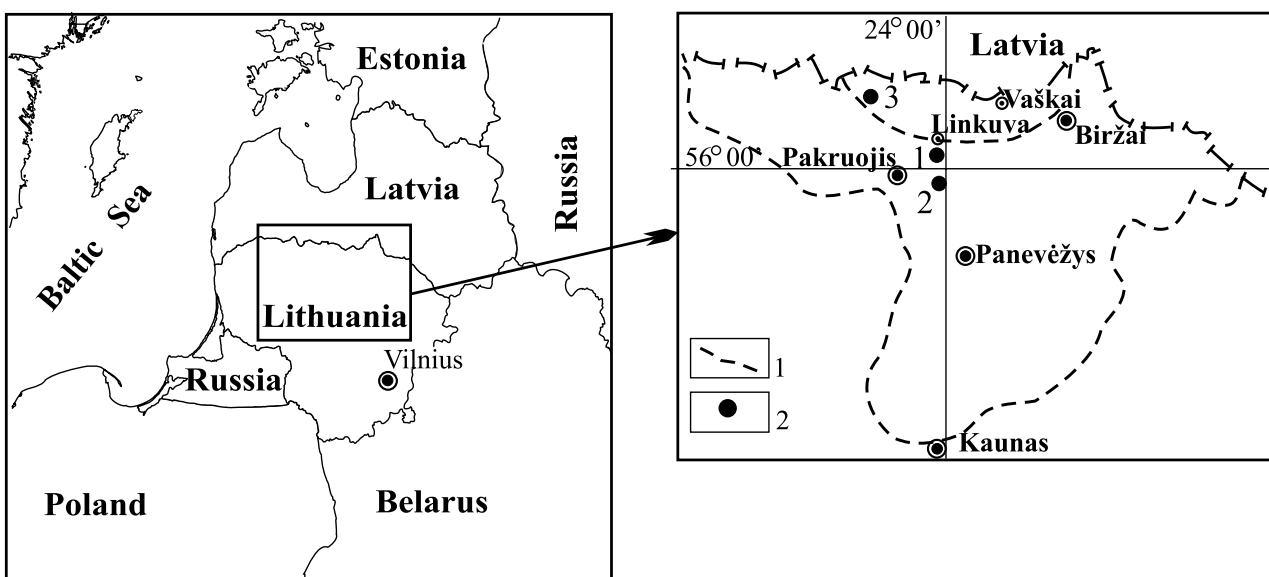
Valentinas Baltrùnas, Bronislavas Karmaza, Institute of Geology and Geography, T. Ðevèenkos 13, 03223 Vilnius, Lithuania. E-mail: baltrunas@geo.lt; karmaza@geo.lt

Danguolë Karmazienë, Geological Survey of Lithuania, S. Konarskio 35, 011001 Vilnius, Lithuania. E-mail: danguole.karmaziene@lgt.lt

ÁVADAS

Ðiaurës Lietuvos regionas nuo seno þinomas kaip vyraujanëios ledyninës egzarácijos zona, kurioje kvartero nuogulø storis tik paleoárëjiuose retkarëiai pasiekia 30–40 m. Tai bûdinga ir Mûðos-Nemunëlio lygumai (Lietuvos..., 1981), kurioje nestorà kvartero nuogulø storymæ sudaro vidurinio pleistoceno Medininkø apledëjimo bei velyvojo pleistoceno Nemuno apledëjimo Grûdos ir Baltijos stadijø sluoksniuotos morenos, fliutingø ir drumlinø litogenetiniai dariniai, taip pat nedidelio storio tarpmoreninës ir pavirðinës fliuvioglacialinës bei limnoglacialinës nuogulos (Åæéâæäñ, 1971; Åæéâæäñ, I. àðöeí êýâè-þñ, 1982; I. àðöeí êýâè-þñ, 1988; Buceviëiûtë, Dobkeviëius, Marcinkeviëius, 1992). Skirtingai nuo kitø Lietuvos regionø, kuriuose vyraavo ledyninë akumuliacija, ðiau-

rës Lietuvoje ir Vidurio Lietuvos ðiaurinëje dalyje ásigalëjo uolienø egzarácijos bei susmulkintos medþia-gos transportavimo procesai. Ðiø procesø intensyvumas ir pobûdis yra uþfiksuoti suklostytø moreniniø nuogulø storymëje bei jos struktûroje. Moreniniø nuogulø, ðiaurës Lietuvoje sudaranëiø didesnæ pleistoceno storymës dalá, tyrimo aktualumà lemia ðios storymës stratigrafino skaidymo bei koreliavimo sun-kumai, susijø su morenø nevienalytiðkumu ir daugiasluoksniðkumu. Ávairiai aspektai tai tirta ir gretimuose kraðtuose (I. àðöaâââ, 1976; Åáî èðeí ü, 1989; Rzechowski, 1980; Ber, 2000 ir kt.). Tokio reið-kinio paplitimas ir iðtyrimas kitø ðaliø pleistoceno morenose bei dabartinio apledëjimo rajonuose leidþia konstatuoti ávairias prieþastis, tarp kuriø pamî-nëtina vyraujanti ledo, ledo-vandens ar tik vandens aplinka, tirpstanëio ledo facijos, ledyno dinaminë bû-



1 pav. Tirtø geologiniø pjûviø lokalizacija:

1 – Nemuno (Weichselian) apledøjimo stadijø ir faziø ribos (pagal Gaigalas, 2001); 2 – detaliai tirti geologiniai pjûviai:
1 – Petraðiùnø (N 55°59'56", E 23°54'16"), 2 – Klovainio (N 55°56'13", E 23°56'46"), 3 – Skaistgirio (N 56°17'56", E 23°23'27")

Fig. 1. Location of the geological cross-section studied:

1 – boundaries of stages and phases of the Nemunas (Weichselian) Glaciation (according to Gaigalas, 2001); 2 – geological cross-sections investigated in detail: 1 – Petraðiùnai (N 55°59'56", E 23°54'16"), 2 – Klovainiai (N 55°56'13", E 23°56'46"), 3 – Skaistgirys (N 56°17'56", E 23°23'27")

sena, glaciotektonikos pasireiðkimas ir kitos (Dreimanis, 1989; Brodzikowski and van Loon, 1991; Ehlers, 1996; Èàâðóðøèí, 1980; 1991; Czerwonka et al., 1997; Khatwa and Tulaczyk, 2001; Knight et al., 2000; Lyså and Lønne, 2001; Müller and Schlüchter, 2001; Waller, 2001; Boulton et al., 2001; Alley et al., 1997; Piotrowski et al., 2001; Stea and Pe-Piper, 1999; Ñaðaáðý i ûé, Í ðeðiâ, 1989; Stokes and Clark, 2002 ir kt.).

Ðio straipsnio tikslas – pateikti naujø medpiagà apie pleistocene storymës sandaros ir pagrindiniø morenø susidarymo ypatybes ðiaurës Lietuvoje, todël ávairiai metodais buvo tiriamas pleistocene nuogulø danga ðiuo metu eksplotuojamuose gretimuose dolomito karjeruose prie Petraðiùnø ir Klovainio miesteliø Pakruojo rajone (1 pav.). Minëti karjerai, vienas nuo kito nutolæ 7–8 km, yra Mûðos-Nemunëlio lygumoje, paskutiniojo apledøjimo Baltijos stadijos Vidurio Lietuvos fazës zonoje. Netoli, apie 5–6 km á ðiauræ nuo Petraðiùnø karjero, matoma Baltijos stadijos ðiaurës Lie-

tuvos fazës riba, kurià fiksuoja ryðkus moreninis Linkuvos gûbrys. Palyginimui taip pat pateikiama Baltijos stadijos morenino kompleksø tyrimai Skaistgirio dolomito karjere (Joniðkio r.), ðiaurës Lietuvos fazës zonoje (Piemgalos lyguma).

METODIKA

Tyrimø metodika buvo naudojama trejopo pobûdþio uþdaviniams spræsti. Kvartero sistemos, tiksliau – jos pleistocene storymës ir pada struktûros, tyrimui naujotas karjerø sieneliø makroskopinis apraðymas, graninis fiksavimas ir fotografavimas, taip pat, remiantis gausia græþiniø informacija, programine áranga sudarytas erdvinis vaizdas. Petraðiùnø karjero ir jo apylinkiø pleistocene nuogulø storiiui ir prekvartero uolienø pavirðiui apibûdinti buvo sudarytos pleistocene nuogulø storio ir pada kartoschemos M 1:5000. Medþiaga kartoschemoms buvo surinkta ið dolomito telkinio paieðkø ir þvalgybos ataskaitø, saugomø Lietu-

1 lentelë. **Tarpmoreniniø nuosëdø Petraðiùnø-1 pjûvyje datavimo OSL metodu rezultatai**

Table 1. Results of OSL dating of intermorainic sediments in Petraðiùnai-1 section

Mëginio Nr. No of sample	Gylis m Depth,m	Laboratorinis kodas Laboratory code	U (ppm)	Th (ppm)	K (%)	D _{ext sed} (μ Gy/a)	P _s (Gy)	OSL ampius tûkst. m. OSL age, ka
1.	1,3–1,4	TLN 1507-093	1,00	3,70	1,76	2150	232,50	81,6 ± 6,5
2.	1,7–1,8	TLN 1508-093	1,20	3,36	1,77	2185	242,00	84,4 ± 13,7
3.	2,3–2,4	TLN 1509-093	0,99	3,92	1,93	2212	248,00	86,1 ± 9,3

vos geologijos tarnybos geologiniame fonde. Buvo iðrinkti duomenys apie pleistoceno nuogulø storá patikslintas dalias græfinio þioëiø absolius aukëtis pagal topografiná þemëlapá M 1:10000. Vëliau EXEL programa buvo parengtas duomenø masyvas, kuris panaudotas grafinëje SURFER programoje sudarant Petraðiùnø dolomito telkinio bei jo apylinkiø kompiuterinius storio ir pado erdviniø kartoschemø (blokiniø diagramø) variantus. 35 km² ploto kartoschemoms sudaryti buvo panaudoti 479 græfinio duomenys.

Pleistocene storymës stratigrafiam suskaidymui buvo atlikta tarpmoreninio aleurito granuliometrinë analizë sietø ir pipetës bûdu Lietuvos geologijos tarnybos laboratorijoje. Mëginiai pjûvyje paimti kas 5 cm. Iðskirtos ðios frakcijos: 5–2; 2–1; 1–0,5; 0,5–0,25; 0,25–0,1; 0,1–0,05; 0,05–0,01; 0,01–0,005; 0,005–0,002; 0,002–0,001 ir smulkesnë uþ 0,001 mm. Ið karjero sienelës kas 10 cm paimtus mëginius tariant Lietuvos geologijos tarnybos laboratorijoje buvo atlikta to paëiø nuosëdø palinologinë (sporø ir þedadulkiø) analizë. Ðiø nuogulø absolius amþius nustatyta optiðkai stimuluotos lüminescencijos (OSL) metodu Talino technikos universiteto Geologijos instituto Kvartero geochronologijos tyrimø laboratorijoje. Buvo datuoti trys makroskopiski besiskiriantys aleurito ir smëlingo aleurito sluoksniai (1 lentelë).

Stratigrafiam glacialiniø nuogulø identifikavimui taip pat panaudoti morenø granuliometrinës, cheminës ir petrografinës sudëties tyrimø rezultatai. Iðskirtos ðios frakcijos: > 2,5; 2,5–1,0; 1,0–0,5; 0,5–0,25; 0,25–0,1; 0,1–0,05; 0,05–0,01; 0,01–0,005; 0,005–0,001; < 0,001 mm. Stambianuotrupinës medþiagos (\varnothing 5–30 mm) petrografinë sudëtis, ilgøjø aðiø orientacija ir polinkis nustatyti pagal A. Gaigalo metodikà (Aðeðaðeða, 1971; 1979). To paëiø mëginiai morenini medþiagai, smulkesnei uþ 1 mm, atlikta daugiaelmentë (grupinë) emisinë spektrinë analizë spektrogramu DFS-13, spektro linijas deðifruojant mikrodensitometru DM-100. Sr nustatytas rentgenofluorescentine analize (analizatorius ARF-6). Gauti duomenys buvo apibendrinti taikant dispersinës analizës statistikos metodus ir panaudojant statistikos duomenø apdorojimo paketą STATENG (Tarakanovas, 1999).

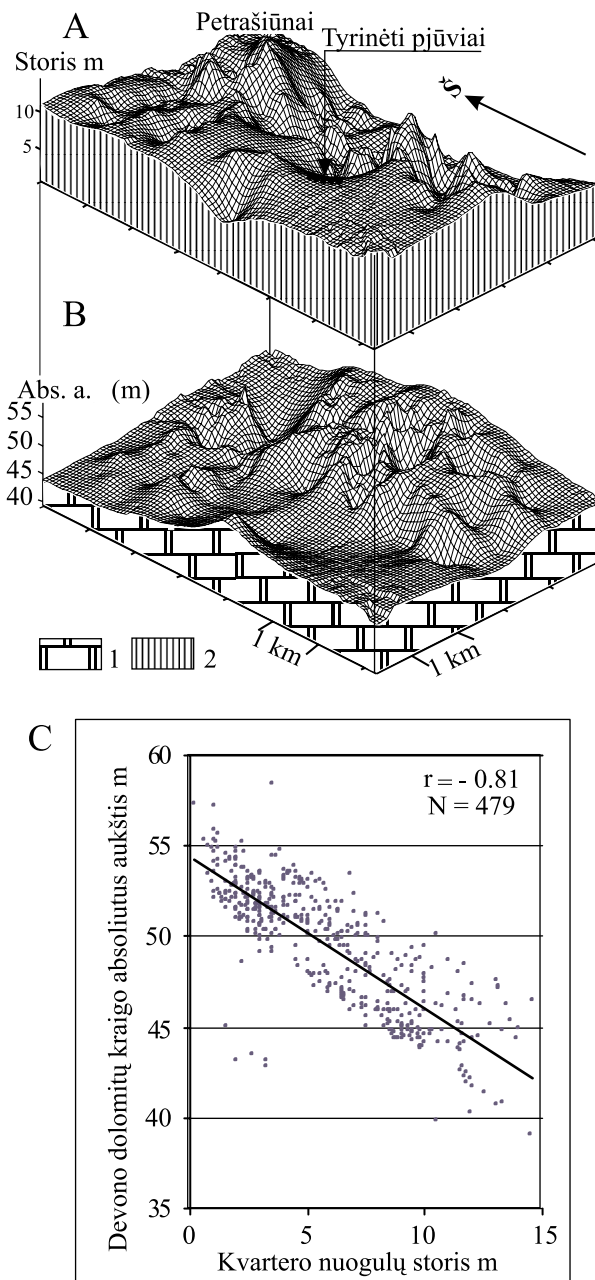
REGIONO PREKVARTERO UOLIENØ PAVIRÐIUS IR PLEISTOCENO STORYMËS SANDARA

Prekvartero uoliens pavirðius. Centrinëje ðiaurës Lietuvos dalyje tiesiog po pleistoceno nuogulø danga slûgso virðutinio devono dolomito, mergelio, klinites, molio, gipso sluoksniai. Ðiø uoliens nevienodas atsparumas mechaniniam ir cheminiam poveikiui, skirtingos jø slûgsojimo ir tektoninës sâlygos lëmë skirtinga egzaracijos ir erozijos mastà ávairose regiono vietose pleistoceno apledëjimø ir tarpledynmeðiø metu. Turimi duomenys rodo, kad ðiam pa-

leorelefui bûdingos ávairios pakilumos, atskiros uþdaros daubos bei lomas, taip pat siauri ir ilgi paleoáreþiai (Ðliaupa, 1997; 2004). Ryðkiai iðsiskiria meridianinës krypties lomas pavidalo paþemëjimas, kurio aðis tæsi per Vaðkus link Panevëþio. Ið rytø ir vakarø ði loma yra juosama + 40 m izohipsës. Tarp Puðalotø ir Pumpënø loma praplatëja iki 30 km. Ties Panevëþiu ji susiaurëja iki 18–20 km, o dugnas truputá pakyla. Abipus Vaðkø–Panevëþio lomas prekvartero uoliens pavirðius pamaþu kyla. Ðios egzarcinës lomas vakariniai ðlaite kaip tik ir yra detailiai tyrinëti Petraðiùnø ir Klovainiø dolomito karjerø dangos pjûviai. Vyraujanèiame + 30 m aukšcio paleolomos pavirðiuje iðsiskiria siauri (0,5–2,0 km ploto) ir palyginti gilûs (10–30 m) áreþiai. Daugelis áreþio atkarþø sutampa su dabartiniø upiø slëniais. Tai ypaë akivaizdu iðilgai Mûðos ir Pyvesos upiø slëniø (Ðliaupa, 1997; 2004). Jeigu Paleopyvesos áreþio meridianinë kryptis artima slinkusio ledynø krypëiai, tai subplatuminës krypties Paleomûðos áreþis, tåantis ðiek tiek ðiauriau tyrinëtø Petraðiùnø ir Klovainiø pjûviø, prieðingai, buvo skersinë kliutis slinkusiems ledynams.

Pleistocene storymës sandara. Regiono kartografiniø græfinio duomenimis, kvartero sistemos nuogulø storymæ sudaro pleistoceno skyriaus du glacigeniniø nuogulø kompleksai. Pagal Lietuvos geologijos tarnybos naudojamà kraðto kvartero stratigrafijos schemà, ðios glacialinës nuogulos paprastai priskiriamos vidurinio pleistoceno Medininkø bei virðutinio pleistoceno Virðutinio Nemuno ledynmeðiams (svitoms) (Lietuvos kvartero..., 1994). Pleistocene storymëje daþnos tarpmoreninës fliuvioglacialinës ir limnoglacialinës nuosëdos. Ið patikimai nustatyto tarpledynmeðiø nuogulø nuo seno þinomas tik vienas Merkinës tarpledynmeðio pjûvis prie Pasvalio (Narbutas, Kondratienë, 1958). Regione yra paplitusios Medininkø svitos glacialinës nuogulos, iðskyrus vietoves, kuriose jas erodavo vëliau slinkæ ledynai. Medininkø svitos glacialinës nuogulos slûgso ant virðutinio devono uolienu. Daþniausiai tai moreninis priesmëlis, reëiau – priemolis, paprastai rudas, pilkai rudas, raudonai rudas, nors pasitaiko ir vyraujanti pilka spalva. Ði morena yra labai kompaktiðka, kieta ir sausa. Didþiausias jos storis (38 m) aptiktas paleoáreþyje netoli Degësiø kaimo (24 km á ðiaurës vakarus nuo Pakruojo). Vyraujantis morenos storis yra 10–15 m, nors prekvartero uoliens pavirðiaus pakilimuose jis sumaþeja iki 3–5 m. Medininkø ledyno paliktoje morenoje pasitaiko átrauktø devono uoliens luistø. Didþiausias jø storis (21 m) konstatuotas græfinye apie 28 km ðiauriau Pakruojo.

Virðutinio Nemuno svitos glacialinës nuogulos dengia visà teritorijà. Jos slûgso ant Medininkø svitos, reëiau – tiesiog ant virðutinio devono nuogulø. Ið virðaus vietomis jos pridengtos fliuvioglacialinëmis, limnoglacialinëmis, kitos kilmës nuogulomis. Morenos padas nenusileidþia þemiau + 20 m abso-



2 pav. Pleistocene nuogulø storis (A), ikitkarteriniø uoliens paleopavirðius (B) bei storio ir paleopavirðiaus koreliacijos pobûdis (C) Petraðiûnø plote:

1 – viršutinio devono dolomitas (D_3), 2 – pleistocene nuogulø storymë

Fig. 2. Thickness of Pleistocene deposits (A), sub-Quaternary palaeosurface (B) and the character of correlation between thickness and palaeosurface (C) in Petraðiûnai area: 1 – Upper Devonian dolomite (D_3); 2 – Pleistocene strata deposits

liutaus aukðeio. Didþiausias pragræptas jos storis (34 m) aptiktas paleoáduboje Peimelio apylinkëse. Daþniausiai tai moreninis priesmëlis, reèiau priemolis. Vyrauja pilkðvai ruda spalva, reèiau – pilka ar ruda. Ðio glacialinio komplekso virðutinei daliai bûdinga gelsvai ruda spalva. Joje daþnai aptinkami ávaraus smëlio, þvirgþdo, molio (iki 2,2 m storio) læðiai.

PETRAÐIÛNØ PLOTO PLEISTOCENO STORYMËS SANDARA IR SUDËTIS

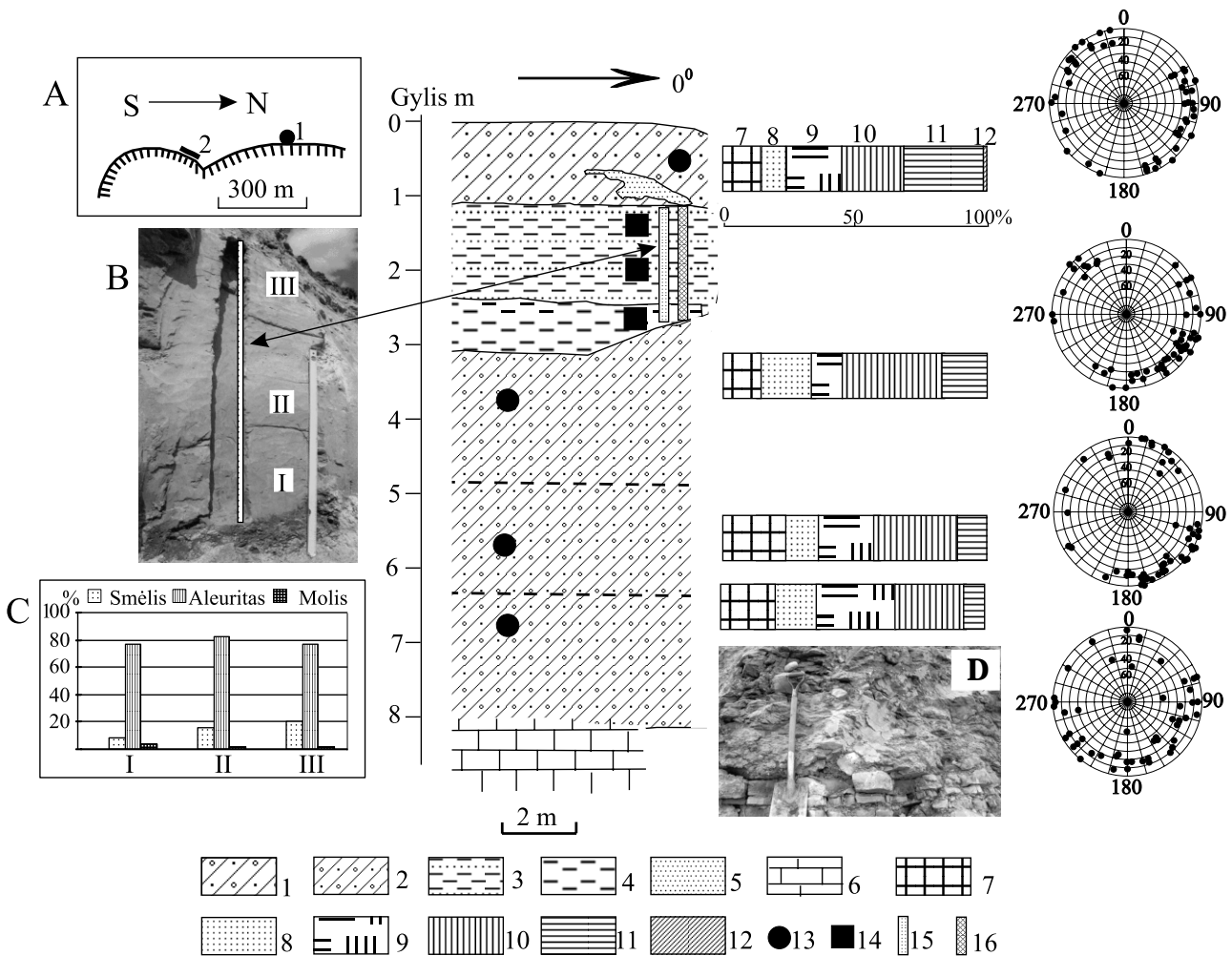
Pokvarterinis paviršius, kurá ðioje vietovëje sudaro virðutinio devono Stipinø svitos dolomitas su mergelio ir molio tarpsluoksniais, detaliai iðtirtame Petraðiûnø plote yra gana kaitus (2 pav.). Jo absoliutus aukštis svyruoja nuo +39 iki +58 m. Šio paleopavirðiaus vyraujantis paaukðtëjimas stebimas ploto rytinëje dalyje, eia jis pasiekia +50 – +55 m. Didþiausias pleistocene nuogulø storis, priešingai, yra vakarinëje ploto dalyje ir siekia 14 m (2 pav.). Minimalus jo storis aptinkamas rytinëje dalyje – 1–2 m. Pleistocene nuogulø storis yra glaudþiai ir atvirkðèiai proporcingai susijës su prekvartero uoliens pavirðiaus aukðeiu. Didþiausias ðios nuogulø storis paprastai aptinkamas devono uoliens kraigo paþemëjimuose. Bendras (vidurkinis) pleistocene nuogulø storio ir prekvartero uoliens pavirðiaus koreliacijos koeficientas yra -0,81.

Pleistocene storymës sandara ir stratigrafija.

Fondinës ir literatûrinës medþiagos apie Petraðiûnø plotà perþiûrëjimas bei naujausi moreniniø ir tarpmoreniniø nuogulø tyrimai leido autoriams pleistocene storymëje sàlygiðkai iðskirti ðiuos tris litostratigrafinius kompleksus: apatiná (senesná) moreniná, tarpmoreníná ir virðutiná (Nemuno aplédëjimo Baltijos stadijos).

Apatiniam (senesniam) moreniniam kompleksui

vietomis bûdinga trinarë struktûra. Tai apatinis (iki 1,8 m storio) rudas ir molingas, ketas moreninis priemolis su neiðreikðta þvirgþdo ir gargþdo ilgøjø aðiø orientacija, vietomis palaipsniui pereinantis á viduriná (iki 1,5 m storio) pilkà, maþiau molingà ir labiau þvirgþdingà moreniná priesmélá (3 pav.). Ðis pilkas moreninis priesmélis, pasibymintis þvirgþdo ir gargþdo ilgøjø aðiø vyraujanëia orientacija ÐV-PR kryptimi, ryðkia spalvine ir staigia riba pereina á rudað analogiðkai molingà ir þvirgþdingà stambianotrupinës medþiagos su ilgøjø aðiø orientacija moreninaná priesmélá Pastaras pasibymi horizontaliu skyrumu, kaièiu storiu (iki 1,7 m). Lyginant pagal granuliometrinæ sudëtâ panaðius ðiuos morenos sluoksnius, matyti, kad pilkojoje yra didesnis virðutinio devono dolomito, mergelio bei smiltainio kiekis þvirgþdo ir smulkaus gargþdo frakcijoje, daugiau Zr, Y, P ir maþiau Ca, Sc frakcijoje, smulkesnëje uþ 1 mm (2 lentelë). Tuo tarpu abi rudosios morenos dalys pagal Zr, Y, Sc, P yra identiðkos. Tai liudija morenos vidurinæ pilkàjà dalá esant praturtintà vietine devono nuogulø nuotrupine medþiaga, kuri nebuvo iki galio asimiliuota morenos susidarymo metu. Ðià vietinæ medþiagà sudaro virðutinio devono Stipinø svitos dolomito storymës virðutinio sluoksnio uolienos. Tai minkðtas, ðviesiai pilkas su gelsvu ir þalsvu atspalviu dolomitas, susisluoksniavæs su mergeliu ir moliu (Narbutas, 1994), kurie pasibymi bûdinga mikroelementø sudëtimi (Kadûnas, Katinas ir kt., 2004). To-



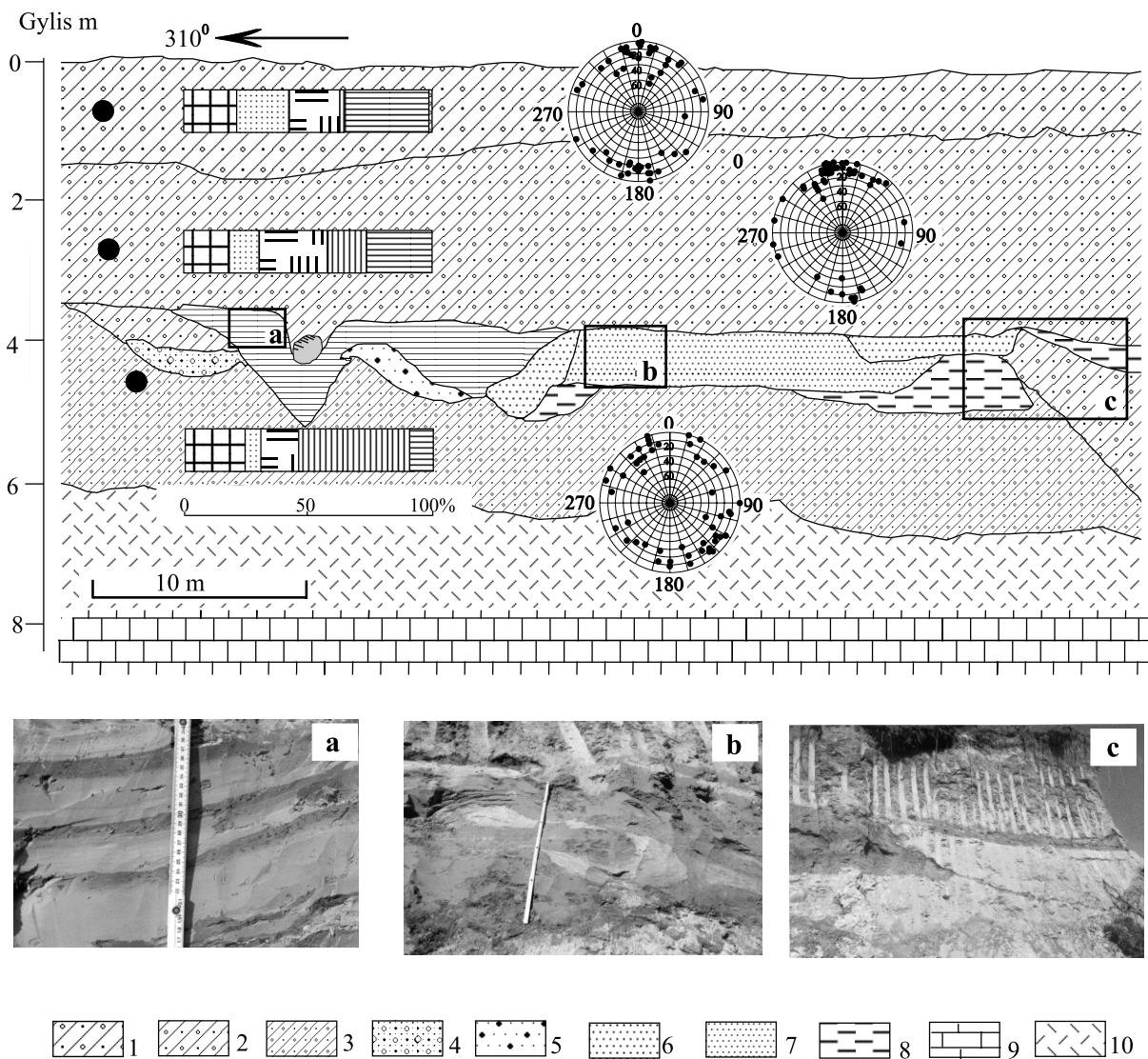
3 pav. Pleistoceno nuogulė pjūvis Petrađiūnai-1 dolomito karjero pietvakarinėje dalyje (2002 08 24): A – Petrađiūnai-1 ir Petrađiūnai-2 pjūvių išsidėstymas, B – tarpmoreninio nuosėdė fotovaizdas, C – tarpmoreninio nuosėdė granuliometrinė sudėties atskirose sluoksnio dalyse (I, II, III), D – moreneninio priemolio kontakto su devono dolomitu fotovaizdas.

1 – Vidurio Lietuvos fazės moreninis smēlis ir priesmēlis, 2 – vidurinio (?) pleistoceno moreninis priemolis ir priesmēlis, 3 – smēlingas aleuritas, 4 – aleuritas, 5 – smulkutis smēlis, 6 – dolomitas (D_3), 7–12 – þvirgþdo ir gargþdo petrografinės grupės (7 – kristalinės uolienos, 8 – smiltainis, 9 – dolomitas, 10 – ordoviko ir silūro klintys, 11 – kitos klintys, 12 – kitos uolienos ir mineralai), 13 – moreneninio nuogulė granuliometrinės, geocheminės, þvirgþdo ir gargþdo petrografinės sudėties (diagramos) bei jø ilgøjø aðiø orientacijos ir polinkio (stereogramos) nustatymo vietas, 14 – tarpmoreninio nuosėdė amþiaus nustatymo vietas optiðkai stimuliuotos luminescencijos (OSL) metodu, 15 – granuliometrinės sudėties nustatymo profilis; 16 – sporø ir þiedadulkio nustatymo profilis

Fig. 3. Cross-section of Petrađiūnai-1 Pleistocene deposits in the southwest part of dolomite quarry (24-08-2002): A – location of cross-sections Petrađiūnai-1 and Petrađiūnai-2; B – photograph of intermorainic sediments; C – grain-size composition in separate parts (I, II, III) of intermorainic sediments; D – photograph of contact Devonian dolomite with till. 1 – Middle Lithuanian phase morainic sand and sandy loam, 2 – Middle (?) Pleistocene morainic loam and sandy loam, 3 – sandy silt, 4 – silt, 5 – very fine sand, 6 – dolomite (D_3), 7–12 – petrographic groups of gravel and pebbles (7 – crystalline rocks, 8 – sandstones, 9 – dolomites, 10 – Ordovician and Silurian limestones, 11 – other limestones, 12 – other rocks and minerals); 13 – points of measuring the grain size, geochemical and petrographic (diagrams) composition, orientation and inclination (stereograms) of the long axes; 14 – point of intermorainic deposits dated by the optically stimulated luminescence (OSL) method; 15 – profile of measuring the grain size composition; 16 – profile of measuring spore and pollen

kiø pradinėje stadioje asimiliuojamø pagrindo uoliens dafniausiai randama ties morenos padu (3 pav.). Kai kur ðioje morenoje pasitaiko iki 5 m ilgio ir iki 0,5 m storio vandeningo þyro lëðiø, taip pat vëlesnio apledëjimo „iðjudinto“ moreneninio priemolio blokø (4 pav.).

Apibûdintas apatinis (senesnis) moreneninis kompleksas pagal þemiu patiktus tarpmoreninio nuogulø tyrimo duomenis gali priklausyti vidurinio pleistoceno Medininkø posvitei arba virðutinio pleistoceano Apatinio Nemuno posvitei. Moreneninio nuogulø þvirgþdo ir gargþdo ilgøjø aðiø orientacija bei jø pet-



4 pav. Pleistocene nuogulø pjûvis Petraðiûnai-2 dolomito karjero pietvakarinëje dalyje (2002 08 24):

1 – Vidurio Lietuvos fazës moreninis smëlis ir priesmëlis, 2 – Baltijos stadijos maksimalios fazës moreninis priesmëlis, 3 – vidurinio (?) pleistocene moreninis priemolis, 4 – þvirgþdingas smëlis, 5 – ávairus smëlis, 6 – smulkus smëlis, 7 – smulkutis smëlis, 8 – aleuritas, 9 – dolomitas (D_3), 10 – deliuvis; a – tarpmoreniniø juostuotø molio (varvo) fotonuotrauka, b – tarpmoreninio dislokuoto smëlio fotonuotrauka, c – dislokuotos apatinës morenos fotonuotrauka. Kiti sutartiniai þenklai 3 pav.

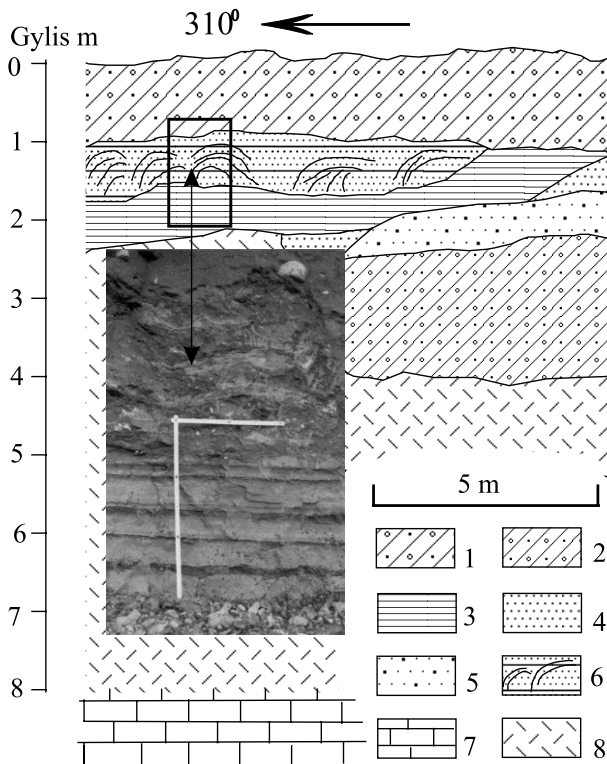
Fig. 4. Cross-section of Petraðiûnai-2 Pleistocene deposits in the southwest part of dolomite quarry (24-08-2002):
 1 – morainic sand and sandy loam of Middle Lithuanian phase, 2 – morainic sandy loam of Baltija stage maximum phase, 3 – morainic loam of Middle (?) Pleistocene, 4 – pebbly sand, 5 – various grained sand, 6 – fine sand, 7 – very fine sand, 8 – silt, 9 – dolomite (D_3), 10 – diluvium, a – photograph of intermorainic varved clay, b – photograph of dislocated sand, c – photograph of dislocated lower till. Other symbols as in Fig. 3

rografinë sudëtis nёra bўdinga Medininkø posvitës morenomis ir labiau panaði á Nemuno svitos Grûdos bei Varduvos morenø savybes. Pastaroji morena ne-prieðtarauja OSL metodu nustatytam aukðëiau slûg-sanèiø tarpmoreniniø nuosëdø amþiui.

Tarpmoreninis kompleksas Petraðiûnø karjero aplinkoje pasiþymi plaëiu paplitimu, didele litologine ávairove, taëiau nedideliu storiu (iki 2 m) (3, 4, 5 pav.). Gelsvai pilkas ir pilkðvai geltonas aleuritas, taip pat smëlingas aleuritas bei smulkutis aleuritinas smëlis vietomis yra dengiami iki metro storio

varvo sluoksnio su storomis (10–12 cm) pilko mikrosluoksniuoto aleurito ir plonomis (1–3 cm) rudo molio juostomis. Vietomis varvos yra sujauktos, su þvirgþdo ir gargþdo intarpais (5 pav.).

Petraðiûnø karjero pietvakarinës sienelës Petraðiûnø-1 pjûvyje virð rudo ir tamsiai rudo kieto moreniniø priesmëlio slûgso 0,45 m storio kompaktiðkas, subhorizontaliai sluoksniuotas, su neryðkiomis bangavimo ruzgomis pilkas aleuritas, apatinëje dalyje pilkðvai rudas, ðiek tiek molingesnis uþ aukðëiau slûgsantá (3 pav.). Já dengia 0,8 m storio labiau smë-



5 pav. Petrašiūnai-2 pjūvio ūdaurės vakarė dalies (2003 06 17) vaizdas, liudijantis tarpmoreninių juostuotų molių (varvų) kilimą bei jų virðutinės dalies dislokavimą (pr. 4 pav.): 1 – Vidurio Lietuvos fazės moreninis smėlis ir priesmėlis, 2 – vidurinio (?) pleistocene tankus moreninis priemolis ir priesmėlis, 3 – juostuotas molis (varvos), 4 – smulkus smėlis, 5 – ávairus smėlis, 6 – dislokuotas molis su aleurito gniutulais, gargždu ir rieduliais, 7 – dolomitas (D_3), 8 – deliuvis

Fig. 5. Northwestern part of the Petrašiūnai-2 section (17-06-2003) showing an uplift of intermorainic varve and their dislocation to the upper part (see Fig. 4):

1 – morainic sand and sandy loam of Middle Lithuanian phase, 2 – compact morainic loam and sandy loam of Middle (?) Pleistocene, 3 – varved clay, 4 – fine sand, 5 – various grained sand, 6 – dislocated clay with inclusions of silt, pebble and boulder, 7 – dolomite (D_3), 8 – diluvium

lingas, ypač vidurinėje dalyje, rusvai pilkas smulkiai ástrių sluoksniuotas aleuritas, virðutinėje dalyje (40 cm) – su smulkiais (taikiniai) molio gniutulėliais. Virðutinė komplekso dalá sudaro 0,50 m storio dar smëlingesnis, ypač virðutinėje dalyje, neryðkiai horizontaliai sluoksniuotas, pilkšvai geltonas aleuritas su ūviesiai pilko smulkuojo smėlio dëmëmis.

A. Grigienės atlakta šio 1,75 m storio aleurito sporø bei piedadulkio analizë patvirtina, kad piedadulkës iðlikusios gerai, tačiau jų koncentracija labai maža. Santykinai daugiau piedadulkio ir sporø yra pjūvio apatinėje dalyje. Vyrauja medžio piedadulkës, tarp kurio daugiau puðių (*Pinus*), berþo (*Betula*), alksnio (*Alnus*) ir eglës (*Picea*). Rasta pavieniø liepos, ápuolo, skroblo, lazdyno, kénio (*Abies*) ir maumedžio (*Larix*) piedadulkio. Poliniø augalø kiekis ir ávairovë taip pat nedidelë. Daugiau rasta sporø, ypač paparæiø (*Poly-*

podiaceae). Aptikta ir prekvartero amþiaus sporø. Tai leidþia teigti, kad plaðialapiø bei lazdyno piedadulkës taip pat perklostytos. Dalis puðiø piedadulkio galėjo būti vėjo atneðtos ið pieðiau buvusiø miðkingesniø teritorijø. Taigi aleurito ir smëlingo aleurito klostymosi metu klimatas buvo ðaltas, o augalijos danga skurdi. Pagal gautus sporø ir piedadulkio spektrus neámanoma tiksliau nustatyti nuosëdø amþio. Tø paðiø nuosëdø absoliutaus amþiaus nustatymas OSL metodu rodo, kad jos buvo suklotos prieð 86,1–81,6 tûkst. metø (1 lentelë). Toks amþius ir vësios paleoklimatinës sàlygos atitinka velyvojo pleistocene izotopinæ stadijæ 5a, kuri gali būti Lietuvoje koreliuojama su Merkinës (Eemio) tarpledynmeeiø pabaiga (Gaigalas, 2001; Gaigalas, Fedorowicz, 2002) arba su Ankstyvojo Nemuno atðilimu (termomeru) Jonionys-2, o Centrinëje Europoje – su Odderade interstadialu (Satkùnas, 1999).

Virðutinis (Nemuno apledëjimo Baltijos stadijø moreninis kompleksas) yra dvinaris. Øios stadijø maksimalios fazës rudo molingo moreninio priemolio storis siekia iki 3 m (4 pav.). Jis ne visur iðlikas ir kartu su tarpmoreniniemis varvomis uþima þemesná hipometrinia lygå. Pvirgþdo ir gargþdo petrografinei sudëèiai, skirtingai nuo þemiau slûgsanèios morenos, bûdingas maþesnis ið toliau atneðtos nuotrupinës medþiagos (ordoviko ir silûro kliniø) ir didesnis vietinës nuotrupinës medþiagos (devono dolomitø ir kliniø) kiekis, taip pat þvirgþdo ir gargþdo ilgøjø aðiø Ø-P krypties orientacija. Mikroelementø sudëtis frakcijoje, smulkesnëje uþ 1 mm, pasiþymi nedideliu B, Ba, Cr, Ga gausëjimu bei Zr, Sr, Mn sumaþejimu, lygiant su senesniàja (apatine) morena (2 lentelë).

Baltijos stadijø Vidurio Lietuvos fazës ūviesiai rudos, rausvai rudos (ochros) ir rusvai geltonos spalvos moreninis smėlis bei priesmėlis sudaro 1,5 m storio pavirðinæ dangà. Molinga dalis (smulkesnës nei 0,01 mm frakcijos) tesudaro 6,7–8,3%. Morena masyvi, trapi, lengvai subyranti, su didesniu gargždo kiekiu ir bûdingais iðdûlëjusiais gneisais, ties padu smëlingesnë. Apatinë riba su smëliu ir aleuritu ryðki, staigi, su „uþgriebto“ smulkuojo smėlio ir aleurito pailgais intarpais. Apatinë riba su moreniniu priemoliu spalvinga, ryðki, kai kur su perplovimo poþymiais, taip pat þemiau slûgsanèio moreninio priemolio smulkesnës (\emptyset 5–6 cm) intarpais smëlingoje morenoje (3, 4, 5 pav.). Æiai morenai bûdingas maþesnis ið toliau atneðtø ordoviko ir silûro kliniø kiekis ir net iðnykimas, lygiant su senesnëmis morenomis, kai kur – kristaliniø uolienø sumaþejimas (iðdûlëjimas) stambianuotrupinëje dalyje. Akivaizdþiai maþiau Fe, Al, Co, Cr, Ga, Li, Mn, Ni, Sc, V, Zn bei didelë Zr kaita smulkesnëje nei 1 mm frakcijoje (2 lentelë).

PLEISTOCENO STORYMËS IR MORENO FORMAVIMOSI YPATYBËS (DISKUSIJA)

Kaip matyti ið jau pateiktos medþiagos, didþiausia pleistocene storymës dalá Æaurës Lietuvoje sudaro glacia-

2 lentelė. Kai kurių makro- ir mikroelementų kiekis Petražiūnø, Klovainiø ir Skaistgirio pjūviø morenose (mëginiø vietas 3, 4, 6, 7 pav.

Table 2. Values of some macro- and microelements in till of Petražiūnai, Klovainiai and Skaistgirys sections (point of samples in Figs. 3, 4, 6, 7)

Ele- mentas Ele- ment	Regioninis fonas* Regional background	PETRAŽIŪNØ-1				PETRAŽIŪNØ-2				KLOVAINIØ			SKAISTGIRIO				
		Mëginio Nr. nuo apaèios Sample No from bottom															
		1	2	3	4	1	2	3	1	2	3	1	2	3	4		
Ag	0,03	0,04	0,045	0,045	0,035	0,045	0,045	0,045	0,045	0,052	0,035	0,04	0,045	0,04	0,06		
Al		4,3	4,6	4,6	3,2	4,3	4,2	3,5	4,6	4,2	4,4	3,2	4,6	4,5	5,4		
B	33	54	50	42	29	45	58	40	60	56	49	37	57	52	58		
Ba	400	420	280	350	230	260	280	230	180	260	230	180	230	230	230		
Ca		4,8	4,2	6,2	6,4	5	5,7	4,7	4,7	6,8	7	8	6,4	5,7	5,2		
Co	5,6	9,4	8,6	8,8	5,2	8,4	9	5,2	8,8	9,4	9,2	5,2	8,2	8,2	11		
Cr	37	50	35	46	23	45	52	27	42	54	44	22	45	42	60		
Cu	6	11	9	11	11	11	13	9	11	13	13	11	13	13	13		
Fe		1,7	1,3	1,55	1,05	1,4	1,5	0,88	1,6	1,65	1,65	1	1,6	1,6	2,2		
Ga	7,4	5,6	4,5	5,8	3,2	4,7	5,6	2,5	4,7	6,2	5,2	2,4	4,7	4,8	6,4		
La	26	24	36	30	24	27	24	26	33	24	24	20	32	30	37		
Li	16	19	11	16	7	12	17	6	14	17	14	5	11	13	18		
Mg		4	3,8	3,3	3,5	3,4	3,8	3,8	4,6	4,4	3,9	6,2	4,2	3,8	4		
Mn	460	390	340	400	300	410	360	300	330	390	400	400	390	340	520		
Mo	0,92	0,9	0,8	0,7	0,9	0,8	0,8	0,7	0,8	1	0,7	0,82	0,7	0,7	0,7		
Nb	9	19	17	15	13	15	15	15	14	15	13	11	14	14	16		
Ni	16	28	20	25	12,5	24	28	14,5	27	27	24	12	25	24	33		
P	600	450	600	450	450	450	450	450	450	450	450	450	450	450	450		
Pb	11,8	10	9	13	10	12	11	10	10	12	11	9	11	11	15		
Sc	7,3	10	6,6	10,5	5,2	8,2	10	3,4	7,8	10	10	5	9	9	13		
Sn	1,4	2,3	2,1	2,2	2	2,1	2,1	1,8	2	2,5	2,3	1,6	2,1	2,2	2,6		
Sr	11	105	135	120	125	140	100	120	120	115	110	145	125	120	140		
Ti	2300	3300	3600	3600	2600	3600	3400	3300	4000	3300	3200	2100	3600	3600	4100		
V	35	70	66	64	34	70	76	40	78	72	64	25	70	70	88		
Y	23	31	45	29	25	34	25	30	38	23	21	26	30	30	40		
Yb	2,5	2,2	2,7	2,5	1,9	1,9	2	2,3	2,3	2,2	1,6	1,7	2,3	2,2	3,1		
Zn	25	25	20	24	10	45	30	18	19	29	17	24	24	16	34		
Zr	220	500	1000	450	420	600	360	900	560	390	310	480	500	420	430		

* Mikroelementų medianinis kiekis įšiaurės Lietuvos moreniniame priesmelyje pagal Kadūnà, Katinà ir kt, 2004.

Al, Ca, Fe ir Mg kiekis %, mikroelementų – ppm (mg/kg). Vertikalus brûkðnys þymi statistiðkai reikðmingus skirtumus tarp mëginiø.

Values of Al, Ca, Fe and Mg are in % and of microelements in ppm (mg/kg). Vertical line marks statistically significant difference among the samples.

linës nuogulos. Jø sedimentacijos dinamines sàlygas geriausiai atspindi stambianuotrupinës medþiagos ilgøjø aðiø orientacijos ir polinkio matavimø duomenys, kartais – granuliometrinës sudëties santykinës entropijos rodiklio kitimas. Kalbant apie apatinæ (senesnæ) apraðtajà morenà Petražiùnø karjere, reikia pastebeti, kad jai bûdingas nevienalytiðkumas, stambianuotrupinës medþiagos ilgøjø aðiø vyraujanti orientacija ÐV-PR kryptimi su jø bûdingu polinkiu pietryðiø link (3, 4 pav.). Tiktai morenos apatinëje dalyje nematyti bûdingos orientacijos ir polinkio. Vyraujantis moreninis priesmëlis (smulkesnës uþ 0,01 mm frakcijos sudaro 17,3–18,3%) pasiþymi nedidele santykine entropija, rodanëia menkà moreninës medþiagos iðmaiðymà (3 lentelë).

Baltijos stadijos maksimalios fazës moreninis priemolis pasiþymi molingumu (smulkesnës uþ 0,01 mm

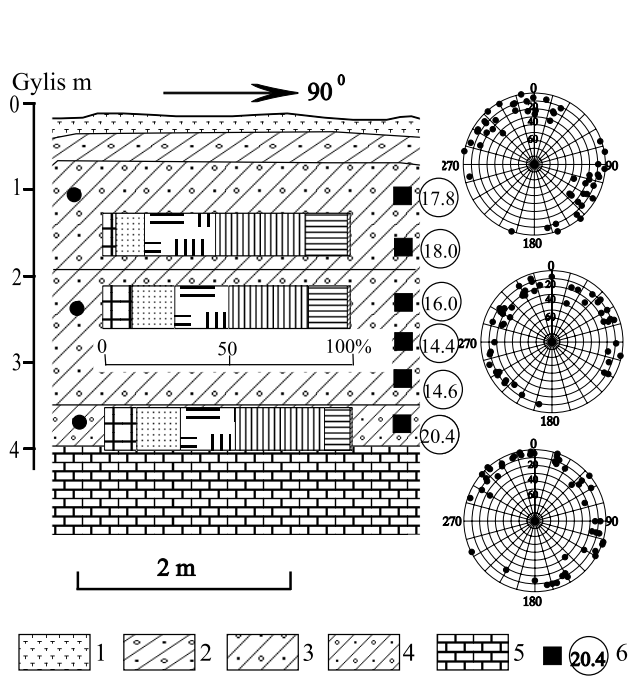
frakcijos sudaro 25%), didele granuliometrinës sudëties santykine entropija bei vyraujanëia þvirgþdo ir gargþdo ilgøjø aðiø Ð-P krypties orientacija, bûdingu jø polinkiu įšiaurës link. Vidurio Lietuvos fazës moreniniams smëliui ir smëlingam moreniniams priesmëliui Petražiùnø plote bûdinga nedidelë granuliometrinës sudëties santykinë entropija (blogas iðmaiðymas), nors ir ne identiðka, taèiau gerai iðreikðta þvirgþdo ir gargþdo ilgøjø aðiø orientacija bei jø polinkis (3 lentelë, 3, 4 pav.). Panaðiai virðutiniø sluoksnio stambianuotrupinë medþiaga orientuota Klovainiø (Vidurio Lietuvos fazës zona) bei Skaistgirio (Íšiaurës Lietuvos fazës zona) karjeruose (6, 7 pav.).

Petražiùnø pjûviuose vietomis matomas apatinës (senesnës) morenos praturtinimas þemiau slûgsanëia

3 lentelė. Morenų granuliometrinės sudėties medianos ir santykinės entropijos kaita Petrašiūnų, Klovainių ir Skaistgirio pjūviuose (mëginių vietas 3, 4, 6, 7 pav.)

Table 3. Variation patterns of median and relative entropy values of grain size distribution of the till in the Klovainiai, Petrašiūnai and Skaistgirys sections (point of samples in Figs. 3, 4, 6, 7)

Pjūvis Section	Mëgino Nr. nuo apaëios Sample No from bottom	Frakcija Fraction < 0,01 mm (%)	Medianė Median (mm)	Santykinė entropija Relative entropy
Petrašiūnų-1	4	8,31	0,171	0,8884
	3	18,33	0,088	0,8885
	2	17,30	0,084	0,8998
	1	24,65	0,069	0,9155
Petrašiūnų-2	3	6,74	0,178	0,8617
	2	24,95	0,068	0,9244
	1	18,36	0,090	0,9107
Klovainių	3	23,57	0,076	0,9109
	2	23,49	0,069	0,9026
	1	25,41	0,070	0,9190
Skaistgirio	4	17,95	0,091	0,9232
	3	19,36	0,085	0,9098
	2	21,82	0,075	0,9097
	1	6,93	0,269	0,9180

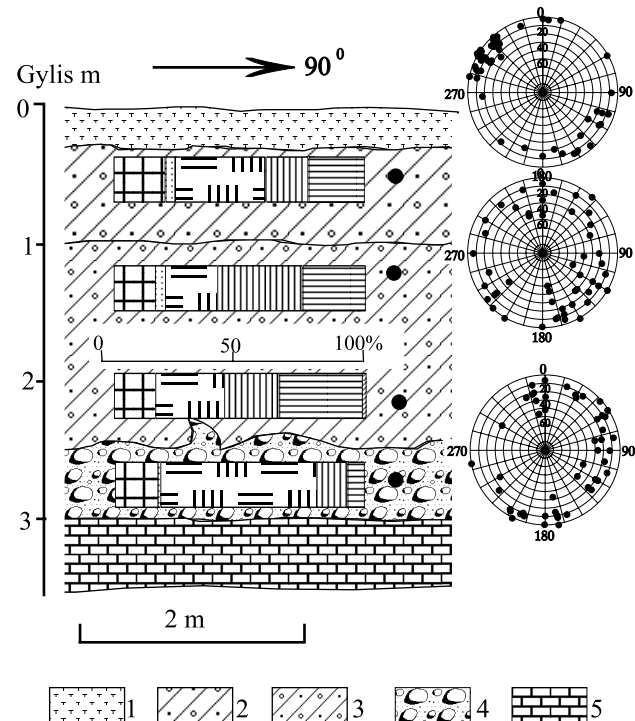


6 pav. Baltijos morenos pjūvis Klovainių karjere:

1 – aleuritas, pereinantis į durpę ir dirvožemį, 2 – perplautas moreninis smëlingas priesmëlis, 3 – masyvus trupantis moreninis priesmëlis, 4 – tankus masyvus moreninis priemolis, 5 – dolomitas (D_3), 6 – radioaktyvumo nustatymo duomenys (mR/h). Kiti sutartiniai ženklai 3 pav.

Fig. 6. Baltija till section in the Klovainiai quarry:

1 – silt grading into peat and soil, 2 – washed sandy loam, 3 – massive, friable sandy loam, 4 – compact, massive loam, 5 – dolomite (D_3), 6 – radioactivity measuring data (mR/h). Other symbols as in Fig. 3



7 pav. Baltijos morenos pjūvis Skaistgirio karjere:

1 – dirvožemis, 2 – trupantis moreninis priesmëlis, 3 – masyvus ir tankus moreninis priesmëlis su subvertikaliomis pilkomis juostelėmis, 4 – neapzulintas žvirgždas, gargždas ir rieduliai, 5 – dolomitas (D_3). Kiti sutartiniai ženklai 3 pav.

Fig. 7. Baltija till section in the Skaistgirys quarry:

1 – soil, 2 – friable sandy loam, 3 – massive and compact sandy loam with sub-vertical narrow grey bands, 4 – angular gravel, pebble and boulders, 5 – dolomite (D_3). Other symbols as in Fig. 3

vietine devono uolienø medþiaga (ypaè gelsvai ir þalsvai pilku dolomitu su mergelio ir molio tarpsluoksniai), taip pat ið moreninio sluoksnio stambaus luisto „iðjudinimas ir átraukimas“ á jaunesnæ Baltijos stadijós maksimalios fazés morenà (3, 4 pav.). Tai liudija, kad ðios morenos Petraðiûnø apylinkëse formavosi ne tik ið tolimesnës ledyno atvilkto nuotrupiniës medþiagos (kristalinës uolienos, ordoviko ir silûro klintys), bet ir ið intensyviai egzaruotø bei asimiliuotø vietiniø senesnio amþiaus nuogulø.

Lyginant tyrinëtasis virðutinio pleistocene morenines nuogulias su detaliai iðtirtomis panaðiomis nuogulomis Pietø Lietuvos regione, kur daþniausiai vyraivo moreninës medþiagos perneðimo ir nusodinimo procesai, akivaizdþiai vyrauja maþesnis morenos malingumas ir didesnë jo kitimo amplitudë Petraðiûnø, Klovainiø bei Skaistgirio pjûviuose. Jeigu Birðtono apylinkëse frakcijos, smulkesnës uþ 0,01 mm, sudaro 28–34%, Daugø ir Varënos – 22–29%, Druskininkø – 23–28% (Baltrûnas, 1995), tai ðiaurës Lietuvos tyrinëtuose pjûviuose – 6–25% (3 lentelë). Lyginant tø paëiø morenø granuliometrinës sudëties santykinës entropijos rodiklå matyti, kad tiek Pietø Lietuvos (Baltrûnas, Pukelytë, 2003; Baltrûnas, Gaigalas, 2004), tiek ir ðiaurës Lietuvos tyrinëtuose pjûviuose (3 lentelë) esminio skirtumø nëra. Ðio rodiklio kaita, matyt, yra susijusi su ávairios granuliometrinës sudëties nuogulø iðmaiðymu bei jø nusodinimu morenina medþiaga prisotinus slenkanèià apatinæ ledyno dalá Petraðiûnø pjûviuose akivaizdus maþesnis santykinës entropijos rodiklis besiformuojanèijoje Vidurio Lietuvos fazés morenoje, kuri pieëiau esanèia-me Klovainiø pjûvyje yra molingesnë, geriau iðmaiðta ir maþiau besiskirianti nuo Baltijos stadijós maksimalios fazés morenos (6 pav., 3 lentelë).

Jau ankstesniø metø Vidurio ir ðiaurës Lietuvos morenø tyrimø medþiaga patvirtino paskutiniojo (Nemuno) apledëjimo moreninio komplekso daugianariðkumà (daugiasluoksnîðkumà), kurio storymëje detaliø tyrimø dëka nustatyto progresyviø ir regresyviø etapø morenos, taip pat Baltijos stadijós atsitraukimo fazio palikti sluoksniai pulsuojanèio ledyninio skydo pade (Åæääææñ, 1971; Åæääææñ, I àðöeí êýâè÷þñ, 1982; I àðöeí êýâè÷þñ, 1988). Naujai pateikta medþiaga patvirtina teiginá, kad degraduojanèio ledyno suaktyvëjimo ar stabilizacijos fazio metu ledyninio skydo vidinëje dalyje buvo akumuliuojami nauji morenos sluoksniai su bûdingais aktyvaus ledyno poþymiais.

IŠVADOS

1. ðiaurës Lietuvos regione vyraujanèios nedidelio storio (iki 30–40 m) pleistocene nuogulos yra skaidomos á tris litostatigrafinius kompleksus: vidurinio pleistocene (Medininkø posvitës) arba virðutinio pleistocene (Apatinio Nemuno posvitës) apatiná glacialiná kompleksà, virð jo slûgsanèias 86–81 tûkst.

metø senumo tarpmorenines nuosëdas bei virðutiná paskutiniojo apledëjimo Baltijos stadijós moreniniø nuogulø kompleksà.

2. Apatinis (senesnis) glacialinis kompleksas, slûgsantis pokvarterinio reljefo paþeméjimuose, yra suformuotas ið ðiaurës vakarø slinkusio ledyno, jo sàlyèio su ðiaurës ir rytø link palinkusiu pokvarteriniu pavirðiumi. Akumuliuota morena turi tiek ið toli atneðtinio kristaliniø uolienø, ordoviko ir silûro kliniø, tiek ir vietiniø pokvarteriniø virðutinio devono uolienø (dolomito, klinties, mergelio, smiltainio) medþiagos.

3. Virðutinio pleistocene paskutiniojo (Nemuno) apledëjimo vëlesnës Baltijos stadijós glacialiná kompleksà sudaro ið ðiaurës slinkusio ledyno dviejø atsitraukimo fazio metu akumuliuoti sluoksniai. Die nuo senesniø morenø skiriasi maþesniu ið toliau atneðtos nuotrupiniës medþiagos bei didesniu vietinës egzaruotos medþiagos kiekiu, o tarpusavyje – granuliometrine sudëtimi bei medþiagos iðmaiðymo laipsniu.

PADËKA

Autoriai dëkoja Talino technikos universiteto Geologijos instituto Kvartero geochronologijos tyrimø laboratorijos vadovui dr. A. Molodkovui, Lietuvos geologijos tarnybos palinologe A. Grigienei bei Geologijos ir geografijos instituto jaunesniajai mokslinei bendradarbei V. Pukelytei uþ pagalbà tiriant ðiaurës Lietuvos pleistocene nuogulø pjûvius bei apibendrintant jø tyrimo rezultatus.

Literatûra

- Alley R. B., Cuffey K. M., Evenson E. B., Strasser J. C., Lawson D. E. A. and Larson G. J. 1997. How glaciers entrain and transport basal sediment: physical constraints. *Quaternary Science Reviews*. **16**(9). 1017–1038.
- Baltrûnas V. 1995. Pleistocene stratigrafija ir koreliacijà. Vilnius: Academia. 179 p.
- Baltrûnas V., Pukelytë V. 2003. Pleistocene morenø granuliometrinës sudëties santykinës entropijos kaitos ypatumai Pietø Lietuvos. Geologija. **42**. 45–50.
- Baltrûnas V. and Gaigalas A. 2004. Entropy of Pleistocene till composition as an indicator of sedimentation conditions in Southern Lithuania. *Geological Quarterly*. **48**(2). 115–122.
- Ber A. 2000. Plejstocen Polski pôùnocno-wschodniej w nawiàzaniu do gùbszegó podiùýa obszarów sàsiednich *Prace Państwowego Instytutu Geologicznego*. CLXX. Warszawa. 89 p.
- Boulton G. S., Dobbie K. E. and Zatsepin S. 2001. Sediment deformation beneath glaciers and its coupling to the subglacial hydraulic system. *Quaternary International*. **86**(1). 3–28.
- Brodzikowski K. and van Loon A. J. 1991. Glacigenic Sediments. Amsterdam: Elsevier. 674 p.

- Bucevičiūtė S., Dobkevičius M., Marcinkevičius V. 1992. Rajono geologinės ir hidrogeologinės sėlygos. Karstinio rajono gamtinė ir technogeninė situacija. *Geologija*. **13**. Vilnius. 30–49.

Dreimanis A. 1989. Tills: Their genetic terminology and classification. In: Genetic classification of glacigenic deposits (eds. R. P. Goldthwait and C. L. Matsch). Rotterdam – Brodfield: Balkema. 17–84.

Ehlers J. 1996. Quaternary and glacial geology. John Wiley & Sons. 578 p.

Gaigalas A. 2001. Viržutinio (vėlyvojo) pleistocene stratigrāfija ir geochronologija. *Akmens amžius Pietų Lietuvosje* (red. V. Baltrūnas). Vilnius. 7–24.

Gaigalas A., Fedorowicz S. 2002. Termoluminescence dates of Mid- and Late Pleistocene sediments in Vilkiškės exposure, Eastern Lithuania. *Geologija*. **38**. 31–40.

Kadūnas V., Katinas V., Radzevičius R., Taraškevičius R. 2004. Nuosėdø mikroelementinės sudėties kaita sedimentacijos paleobaseinuose ir geocheminiø anomalijø susidarymas. *Lietuvos Pemės gelmo raida ir iðtekliai* (ats. red. V. Baltrūnas). Vilnius: Petro ofsetas. 123–144.

Khatwa A. and Tulaczyk S. 2001. Microstructural interpretations of modern and Pleistocene subglacially deformed sediments: the relative role of parent material and subglacial processes. *Journal of Quaternary Science*. **16(6)**. 507–517.

Knight P. G., Patterson C. J., Waller R. I., Jones A. P. and Robinson Z. P. 2000. Preservation of basal-ice sediment texture in ice-sheet moraines. *Quaternary Science Reviews*. **19(13)**. 1255–1258.

Lietuvos kvartero stratigrafijos schema. 1994. *Vilnijos geologiniø tyrimø taisyklos ir metodinës rekomendacijos*. Vilnius, Lietuvos geologijos tarnyba. 1994. 17 p.

Lietuvos TSR atlasas. 1981. Maskva. 216 p.

Lysá A. and Lønne I. 2001. Moraine development at a small High-Arctic valley glacier: Rieperbreen, Svalbard. *Journal of Quaternary science*. **16(6)**. 519–529.

Müller B. U. and Schlüchter C. 2001. Influence of the glacier bed lithology on the formation of a subglacial till sequence ring-shear experiments as a tool for the classification of subglacial tills. *Quaternary Science Reviews*. **20(10)**. 1113–1125.

Narbutas V. 1994. Dolomitas. *Lietuvos geologija* (red. A. Grigelis ir V. Kadūnas). Vilnius: Mokslo ir enciklopedijø leidykla. 254–262.

Narbutas V., Kondratienė O. 1958. Kai kurie nauji duomenys apie tarpledynmetiná karstiná procesá. Džiaurés Lietuvoje. *Geografinis metraštis*. **1**. Vilnius. 321–328.

Piotrowski J. A., Mickelson D. M., Tulaczyk S., Krzyszowski D. and Junge F. W. 2001. Were deforming subglacial beds beneath past ice sheets really widespread. *Quaternary International*. **86(1)**. 139–150.

Rzechowski J. 1980. An attempt of lithostratigraphical subdivision of the Vistulian Glaciation tills in Poland. *Quaternary Studies in Poland*. **2**. 107–120.

Satkūnas J. 1999. The Upper Pleistocene stratigraphy and geochronology in Lithuania. *Litosfera*. **3**. 43–57.

Stokes CH. R. and Clark CH. D. 2002. Are long subglacial bedforms indicative of fast ice flow? *Boreas*. **31(3)**. 239–249.

Šliaupė A. 1997. The sub-Quaternary relief of Lithuania and of adjacent territories. *Litosfera*. **1**. 46–57.

Šliaupė A. 2004. Prekvartero uolienø paviršius. *Lietuvos Pemės gelmo raida ir iðtekliai* (ats. red. V. Baltrūnas). Purnalo „Litosfera“ leidinys. Vilnius. 254–260.

Tarakanovas P. 1999. Statistiniø duomenø apdorojimo programø paketas „Selekcija“. Vilnius. 56 p.

Van der Meer J. J. M., Menzies J. and Rose J. 2003. Subglacial till: the deforming glacier bed. *Quaternary Science Reviews*. **22**. 1659–1685.

Waller R. I. 2001. The influence of basal processes on the dynamic behaviour of cold-based glaciers. *Quaternary International*. **86(1)**. 117–128.

Àáí èðéí üø Í. Í. 1989. Àëýöèí ñòðóèòðà è èääí èëñ áûé ì îðôí àáí áç. Ðëää: Çëí àóí á. 284 ñ.

Àáéàæàñ Á. È. 1971. Ñòðóèòðà, òåêñòðà è àáí àðè÷ññèà ðàçí ï áèäí ï ñòð ï ñí ï áí ûð ì îðáí. Ñòðí áí èä è ì îðôí àáí áç Ñòðàáí á-Èëðí ãññèí è ì îðâí ííé ðàðàí èí û. Àèëüí þñ. 28–87.

Àáéàæàñ Á. È. 1979. Àëýöèí ñàæàí áí òàðèí í í ûá öèéëù í èáéñòð òáí à Èëðâû. Àèëüí þñ: Í ï êñèàñ. 98 ñ.

Àáéàæàñ Á. È. Í àðöèí éýâè÷þñ Á. È. 1982. Ñëí èñòð á ñòðí áí èä è àáí áçèñ ïðí ðí èí æáèí íí-àðýäí áí áí èääí èëñ áí áí ðàëüäôà í á ñàâðà Èëðâû. Àðí èí ðëý. **3**. 69–79.

Èåâðóøéí þ. Á. 1980. Í áéí ðí ðûâ áúñèá áí í ðí ñû ì í ðáí í áí ñàæàí áí ðí ááí áçá. Í ðí ðàññû èí í ðéí áí-ðàëüí í áí èëðí ááí áçá (í ðá. ðää. Á. Á. Ø áí òáð). Í í ñéâà: Í áóéà. 123–135.

Í àðöèí éýâè÷þñ Á. È. 1988. Õí ðí èðí ááí èä Õèçèéí -í áðáí è÷ññèõ ñâí èñòð ì í ðáí í ûð í ðéí æáí èé í ñéâàí áí í ëäáí áí èý Ñòðàáí áé Èëðâû. Àðí èí ðëý. **9**. 125–136.

Í àðâåâà Á. Á. 1976. Èåäí èéí áâý Õí ðí àðëý áí ðí ï ááí à Áåéí ðóññèé. Í èí ñé: Í áóéà è ðåðí èéà. 160 ñ.

Ñàðåáðýí úé È. ð., Í ðéí á. Á. 1989. Ñâæàí áí ðí èí ðéí è÷ññèé í í ðáí áí è èçó÷áí èþ ì í ðáí. Ñí áðáí áí í áí à í ðáí í ðí ðéí ááí èá: í ðí ðàññû è í áñðàí í áéè. Í í ðâí û - èñðí ÷í èé áëýöèí èí-àðññèí è èí ðí ðí àðëé. Í í ñéâà: Í áóéà. 65–137.

Valentinas Baltrūnas, Bronislavas Karmaza, Danguolė Karmazienė

STRUCTURE AND FORMATION PECULIARITIES OF PLEISTOCENE DEPOSITS IN NORTHERN LITHUANIA

Summary

A new geological material on the structure of the Pleistocene strata deposits and formation peculiarities of subglacial tills in Northern Lithuania is presented. Morainic (subglacial till) and intermorainic deposits in quarries of Upper

Devonian dolomite in Petraðiūnai and Klovainiai (Pakruojis district), located in the Middle Lithuanian phase of the Baltija (Pomeranian) stage of the Nemunas (Weichselian) Glaciation were studied. For comparison, results of a study of subglacial till in the Skaistgirys quarry located in the North Lithuanian phase of the Baltija stage are given. The sections were described in detail, the orientation and inclination of the long axes of gravel and pebbles were measured, and samples for petrographic, grain-size and geochemical analysis of till were taken. Intermorainic silt was measured for the grain size, spore and pollen composition and was dated by the optically stimulated luminescence (OSL) method.

On an investigated site near Petražiūnai area the thickness (up to 16 m) of Pleistocene strata deposits directly depends on the depth of sub-Quaternary surface. Pleistocene strata deposits on the investigated site were subdivised into three complexes. The Middle Pleistocene (?) subglacial complex is stratified mainly in the depressions of sub-Quaternary surface. It is formed by a glacier which moved from the north-west and accumulated non-uniformly mixed alien and local (Upper Devonian) clastic material. Of intermorainic deposits, of great interest are basin sediments whose OSL age is 86–81 thousand years. They are overlain by a glacial complex of the Baltija stage of the Nemunas (Weichselian) Glaciation. It is formed by a glacier that advanced from the north and accumulated tills of two phases. From those more ancient they differ by a lower content of alien clastic material and increased content of local material. Among themselves the till phases differ in grain size and the degree of their mixing.

Ààëéáí òéí àñ Áàëëòðóí àñ, Áðí í èñëåâàñ Èàðí àçà,
Ääí áðí èå Èàðí àçáí á

Í ÑÍ ÁÁÍ Í Í ÑÒÈ ÑÒÐÍ ÁÍ Èß È
ÓÍ ÐÍ ÈÐÍ ÁÁÍ Èß Í ËÅÉÑÒÍ ÖÁÍ Í ÅÛÖ
Í ÆÉÍ ÆÁÍ ÈÉ ÑÄÄÅÐÍ Í É ÈËÒÅÙ

Đ à c þ ì à
Í ðâäñòàäéáí í î áûé áâáí eî áè÷áññéé è àòåðèäé
èçó÷áí èý ñòðí áí èý i éäéñòí óáí î áî é òî èü è è
í ní ááí í ñòäé òî ðí èðí áâáí èý í ní í áí ûô í ðáí
Ñâåâðí í é Èèòåû. Èçó÷äéëñü í ðáí í ûá è
í áæí í ðáí í ûá í ðéï æáí èý â ní ñääí èô èäðüåðåô